

УДК 532.51
DOI: 10.15372/PMTF202415456

УСТОЙЧИВОСТЬ ТЕЧЕНИЯ ЖИДКОСТИ В ПЛОСКОМ КАНАЛЕ С ВОЛНИСТЫМИ СТЕНКАМИ

Ю. Я. Трифонов

Институт теплофизики им. С. С. Кутателадзе СО РАН, Новосибирск, Россия
E-mail: trifonov@itp.nsc.ru

Рассмотрено вязкое течение жидкости между двумя волнистыми горизонтальными поверхностями, не ограниченными в продольном и поперечном направлениях. С использованием полных уравнений Навье — Стокса исследована линейная устойчивость такого течения относительно различных трехмерных возмущений. Изучены два типа волнистости стенок: продольное и поперечное периодическое гофрирование. На первом этапе находится основное решение и проводится линеаризация исходных уравнений в окрестности этого решения. На втором этапе решается обобщенная задача определения собственных значений и анализируется весь возможный спектр возмущений. Варьируямыми параметрами являются число Рейнольдса, амплитуда, период и форма гофрирования. Возмущения полей скорости и давления в общем случае характеризуются двумя волновыми числами, которые являются дополнительными параметрами. Исследовано влияние параметров и формы волнистости стенок на область, в которой начинается ламинарно-турбулентный переход.

Ключевые слова: вязкое течение, гофрированные и волнистые стенки, устойчивость, ламинарно-турбулентный переход

Введение. Течение в каналах с гофрированными стенками встречается во многих технических приложениях [1–6], например в топливных элементах, компактных теплообменниках, устройствах охлаждения компонентов микроэлектроники и т. д. Изменение волнистости стенок является одним из способов управления одно- и двухфазными течениями в каналах и используется, например, для уменьшения сопротивления и задержки перехода к турбулентному режиму при обтекании крыльев [7–9]. Эффективность разделения нефти на фракции или воздуха на компоненты в дистилляционных колоннах, заполненных структурированными насадками, во многом определяется интенсивностью перемешивания пара в каналах насадки. На поверхности раздела фаз, формируемой при растекании по ней жидкой пленки, образуются волнистые структуры, расположенные вдоль течения паровой фазы [10–14]. При их наличии процесс перемешивания в паровой фазе может происходить более интенсивно.

Работа [3] является одной из первых работ, в которых численно исследовано стационарное ламинарное течение в канале со стенками, поверхность которых задается синусоидой большой амплитуды. Основной поток пересекал как гребни, так и впадины на поверхности стенки. Предсказанные в [3] отрывные структуры наблюдались в экспериментах [4]. В работах [15–17] при изучении течения в таком же канале установлено существование нестационарных колебаний отрывных зон. В [18–20] показана возможность

Работа выполнена при финансовой поддержке Российского научного фонда (код проекта 23-29-00507).

перехода к турбулентному режиму вследствие появления апериодических колебаний отрывных зон. Задача об устойчивости течения в канале, в случае когда основной поток пересекает гребни и впадины волнистой поверхности стенки, рассматривалась в работах [21–23]. Для случая поперечного гофрирования, когда основной поток не пересекает гребни и впадины волнистой поверхности стенки, устойчивость рассчитывалась в работах [7, 8, 24, 25]. В указанных выше работах устойчивость анализировалась в рамках нестационарного расчета, что предполагает “перебор” начальных данных. Как следствие, расчеты ограничивались вариацией параметров задачи в небольших диапазонах.

В настоящей работе при решении уравнений Навье — Стокса находится основное решение и проводится линеаризация исходных нелинейных уравнений в окрестности этого решения. Возмущения полей скорости и давления полагаются трехмерными с двумя волновыми числами. Далее, путем решения обобщенной задачи определения собственных значений анализируется весь возможный спектр возмущений. Это позволяет исследовать устойчивость в широком диапазоне параметров задачи. Математический и вычислительный аппарат исследования был разработан при изучении двухфазного течения на гладких и волнистых поверхностях [26–28] и адаптирован к решению задач, рассматриваемых в данной работе при других граничных условиях на верхней стенке и в отсутствие поверхности раздела.

Данная работа является продолжением работ [29, 30], в которых гофрированной являлась поверхность нижней стенки канала (поверхность верхней стенки была гладкой), причем форма гофрирования была синусоидальной. В настоящей работе исследуется линейная устойчивость течения в каналах с пятью различными формами гофрирования. Для каждого из пяти каналов рассмотрены два типа гофрирования: вдоль потока и поперек него. В зависимости от амплитуды, периода и формы гофрирования рассчитано критическое число Рейнольдса, при превышении которого основное течение становится неустойчивым и возникают нарастающие во времени трехмерные возмущения различного типа.

1. Основные уравнения. Течение жидкости между двумя горизонтальными гофрированными поверхностями, не ограниченными в x - и z -направлениях (рис. 1), описывается

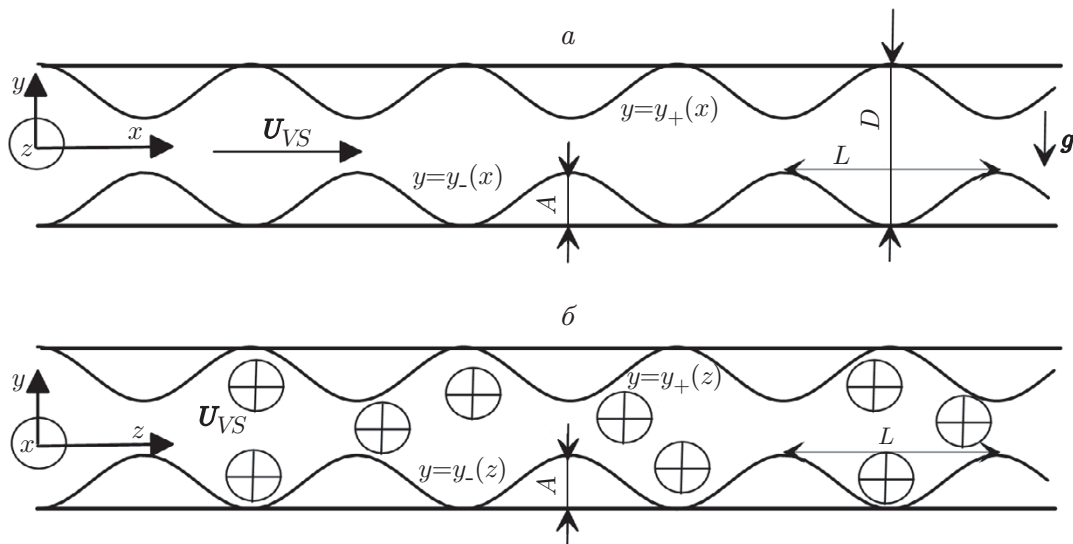


Рис. 1. Схемы расчетных областей:

а — гофрирование вдоль потока, *б* — гофрирование поперек потока

системой уравнений Навье — Стокса с соответствующими граничными условиями:

$$\frac{\partial u}{\partial t} + u \frac{\partial u}{\partial x} + v \frac{\partial u}{\partial y} + w \frac{\partial u}{\partial z} = - \frac{\partial P}{\partial x} + \frac{1}{\varepsilon \operatorname{Re}} \left(\frac{\partial^2 u}{\partial y^2} + \varepsilon^2 \frac{\partial^2 u}{\partial x^2} + \varepsilon^2 \frac{\partial^2 u}{\partial z^2} \right); \quad (1)$$

$$\varepsilon^2 \left(\frac{\partial v}{\partial t} + u \frac{\partial v}{\partial x} + v \frac{\partial v}{\partial y} + w \frac{\partial v}{\partial z} \right) = - \frac{\partial P}{\partial y} + \frac{\varepsilon}{\operatorname{Re}} \left(\frac{\partial^2 v}{\partial y^2} + \varepsilon^2 \frac{\partial^2 v}{\partial x^2} + \varepsilon^2 \frac{\partial^2 v}{\partial z^2} \right); \quad (2)$$

$$\frac{\partial w}{\partial t} + u \frac{\partial w}{\partial x} + v \frac{\partial w}{\partial y} + w \frac{\partial w}{\partial z} = - \frac{\partial P}{\partial z} + \frac{1}{\varepsilon \operatorname{Re}} \left(\frac{\partial^2 w}{\partial y^2} + \varepsilon^2 \frac{\partial^2 w}{\partial x^2} + \varepsilon^2 \frac{\partial^2 w}{\partial z^2} \right); \quad (3)$$

$$\frac{\partial u}{\partial x} + \frac{\partial v}{\partial y} + \frac{\partial w}{\partial z} = 0; \quad (4)$$

$$u = v = w = 0, \quad y = y_-(\zeta), \quad y = y_+(\zeta); \quad (5)$$

$$\left\langle \int_{y_-(\zeta)}^{y_+(\zeta)} u \, dy \right\rangle = 1. \quad (6)$$

Здесь $x = x^*/L$, $y = 2y^*/D$, $z = z^*/L$, $t = u_0 t^*/L$ — безразмерные координаты и время; $u = u^*/u_0$, $v = v^*/(\varepsilon u_0)$, $w = w^*/u_0$, $P = (P^* + \rho g y^*)/(\rho u_0^2)$ — безразмерные компоненты скорости в x -, y - и z -направлениях и давление соответственно; индекс “*” соответствует размерным величинам; $\operatorname{Re} = u_0 D / (2\nu)$ — число Рейнольдса; $\varepsilon = D / (2L)$; L — период гофрирования; D — высота канала; $u_0 = 2U_{VS}$; U_{VS} — средняя по высоте канала скорость потока; $y_-(\zeta)$, $y_+(\zeta)$ — форма гофрирования нижней и верхней стенок соответственно; ν — кинематическая вязкость; ρ — плотность жидкости; g — ускорение свободного падения; $\langle \cdot \rangle$ — среднее в z -направлении.

Рассмотрены два типа гофрирования: вдоль потока и поперек него. В обоих случаях основной поток жидкости направлен вдоль оси x . В первом случае форма гофрирования стенки $y_{\pm}(\zeta)$ зависит от координаты x ($\zeta = x$), во втором случае — от координаты z ($\zeta = z$).

Верхняя и нижняя стенки являются периодическими либо в x -направлении для случая, показанного на рис. 1, *a*, либо в z -направлении для случая, показанного на рис. 1, *б*.

Из уравнения неразрывности (4) и условий прилипания (5) следует

$$\begin{aligned} & \frac{\partial}{\partial x} \int_{y_-(\zeta)}^{y_+(\zeta)} u \, dy - \frac{dy_+}{d\zeta} \frac{d\zeta}{dx} u \Big|_{y=y_+(\zeta)} + \frac{dy_-}{d\zeta} \frac{d\zeta}{dx} u \Big|_{y=y_-(\zeta)} + v \Big|_{y=y_+(\zeta)} - v \Big|_{y=y_-(\zeta)} + \\ & + \frac{\partial}{\partial z} \int_{y_-(\zeta)}^{y_+(\zeta)} w \, dy - \frac{dy_+}{d\zeta} \frac{d\zeta}{dz} w \Big|_{y=y_+(\zeta)} + \frac{dy_-}{d\zeta} \frac{d\zeta}{dz} w \Big|_{y=y_-(\zeta)} = \frac{\partial}{\partial x} \int_{y_-(\zeta)}^{y_+(\zeta)} u \, dy + \frac{\partial}{\partial z} \int_{y_-(\zeta)}^{y_+(\zeta)} w \, dy = 0. \end{aligned}$$

Отсюда в отсутствие среднего потока в z -направлении следует уравнение (6), которое в размерных переменных имеет вид

$$\left\langle \int_{y_-^*}^{y_+^*} u^* \, dy^* \right\rangle = \text{const} = U_{VS} D.$$

После выполнения преобразования координат $x = x$, $z = z$, $\eta = (y - f_+)/f_-$, где $f_+ = (y_+ + y_-)/2$; $f_- \equiv y_+ - f_+ = (y_+ - y_-)/2$; $\eta \in [-1, 1]$ — область течения в новых переменных, получаем уравнения

$$\frac{\partial u}{\partial t} + u \frac{\partial u}{\partial x} + w \frac{\partial u}{\partial z} + (\tilde{u}\eta_\zeta + v\eta_y) \frac{\partial u}{\partial \eta} = -\frac{\partial \bar{P}}{\partial x} - \tilde{k}\eta_\zeta \frac{\partial \bar{P}}{\partial \eta} - Z + \frac{1}{\varepsilon \operatorname{Re}} \left[\eta_y^2 \frac{\partial^2 u}{\partial \eta^2} + \varepsilon^2 \left(\frac{\partial^2 u}{\partial x^2} + \frac{\partial^2 u}{\partial z^2} + \eta_\zeta^2 \frac{\partial^2 u}{\partial \eta^2} + 2\eta_\zeta \frac{\partial^2 u}{\partial \zeta \partial \eta} + (\eta_\zeta \xi + \eta_\zeta \eta_{\zeta\eta}) \frac{\partial u}{\partial \eta} \right) \right]; \quad (7)$$

$$\varepsilon^2 \left(\frac{\partial v}{\partial t} + u \frac{\partial v}{\partial x} + w \frac{\partial v}{\partial z} + (\tilde{u}\eta_\zeta + v\eta_y) \frac{\partial v}{\partial \eta} \right) = -\eta_y \frac{\partial \bar{P}}{\partial \eta} + \frac{\varepsilon}{\operatorname{Re}} \left[\eta_y^2 \frac{\partial^2 v}{\partial \eta^2} + \varepsilon^2 \left(\frac{\partial^2 v}{\partial x^2} + \frac{\partial^2 v}{\partial z^2} + \eta_\zeta^2 \frac{\partial^2 v}{\partial \eta^2} + 2\eta_\zeta \frac{\partial^2 v}{\partial \zeta \partial \eta} + (\eta_\zeta \xi + \eta_\zeta \eta_{\zeta\eta}) \frac{\partial v}{\partial \eta} \right) \right]; \quad (8)$$

$$\frac{\partial w}{\partial t} + u \frac{\partial w}{\partial x} + w \frac{\partial w}{\partial z} + (\tilde{u}\eta_\zeta + v\eta_y) \frac{\partial w}{\partial \eta} = -\frac{\partial \bar{P}}{\partial z} - (1 - \tilde{k})\eta_\zeta \frac{\partial \bar{P}}{\partial \eta} + \frac{1}{\varepsilon \operatorname{Re}} \left[\eta_y^2 \frac{\partial^2 w}{\partial \eta^2} + \varepsilon^2 \left(\frac{\partial^2 w}{\partial x^2} + \frac{\partial^2 w}{\partial z^2} + \eta_\zeta^2 \frac{\partial^2 w}{\partial \eta^2} + 2\eta_\zeta \frac{\partial^2 w}{\partial \zeta \partial \eta} + (\eta_\zeta \xi + \eta_\zeta \eta_{\zeta\eta}) \frac{\partial w}{\partial \eta} \right) \right]; \quad (9)$$

$$v(t, x, z, \eta) = [\eta(f_-)_\zeta + (f_+)_\zeta] \tilde{u}(t, x, z, \eta) - \frac{\partial}{\partial x} \left(f_- \int_{-1}^{\eta} u(t, x, z, \eta') d\eta' \right) - \frac{\partial}{\partial z} \left(f_- \int_{-1}^{\eta} w(t, x, z, \eta') d\eta' \right); \quad (10)$$

$$u(t, x, z, \eta) = w(t, x, z, \eta) = 0, \quad \eta = -1, \quad \eta = 1; \quad (11)$$

$$\left\langle f_-(\zeta) \int_{-1}^1 u d\eta' \right\rangle = 1. \quad (12)$$

Здесь $\zeta = x$ или $\zeta = z$; $\tilde{k} = 1$ или $\tilde{k} = 0$; $\tilde{u} = u$ или $\tilde{u} = w$; $P = Zx + \bar{P}$; $\eta_y = 1/f_-$; $\eta_\zeta = -[\eta(f_-)_\zeta + (f_+)_\zeta]/f_-$; $\eta_{\zeta\eta} = -(f_-)_\zeta/f_-$; $\eta_\zeta \xi = -(\eta_\zeta (f_-)_\zeta + \eta(f_-)_{\zeta\zeta} + (f_+)_{\zeta\zeta})/f_-$.

Далее рассматривается течение в каналах с пятью различными формами гофрирования стенки S_1-S_5 (рис. 2):

$$\begin{aligned} S_1: \quad & y_+ = 1, \quad y_- = -1 + \varepsilon_1 f(\zeta), \\ S_2: \quad & y_+ = 1 - \varepsilon_1 f(\zeta), \quad y_- = -1 + \varepsilon_1 f(\zeta), \\ S_3: \quad & y_+ = 1 - \varepsilon_1 f(\zeta + 1/2), \quad y_- = -1 + \varepsilon_1 f(\zeta), \\ S_i, \quad i = 4, 5: \quad & y_+ = 1, \quad y_- = -1 + \varepsilon_1 \begin{cases} 1/(1 + e^{-2\beta(\zeta + \zeta_i - 1/2)}), & \zeta < 1/2, \\ 1/(1 + e^{-2\beta(-\zeta + \zeta_i + 1/2)}), & \zeta > 1/2. \end{cases} \end{aligned}$$

Здесь $f(\zeta) = (1 - \cos(2\pi\zeta))/2$; $\varepsilon_1 = 2A/D$. В расчетах величины β , ζ_4 , ζ_5 являются постоянными: $\beta = 50$, $\zeta_4 = 0,25$, $\zeta_5 = 0,05$. Величина ε_1 , представляющая собой параметр задачи, варьируется в широком диапазоне (на рис. 2 $\varepsilon_1 = 0,4$). Для каждого из двух типов гофрирования (вдоль потока и поперек него) исследована устойчивость течения в каналах с формой поверхности S_1-S_5 при различных значениях числа Рейнольдса, периода и амплитуды гофрирования.

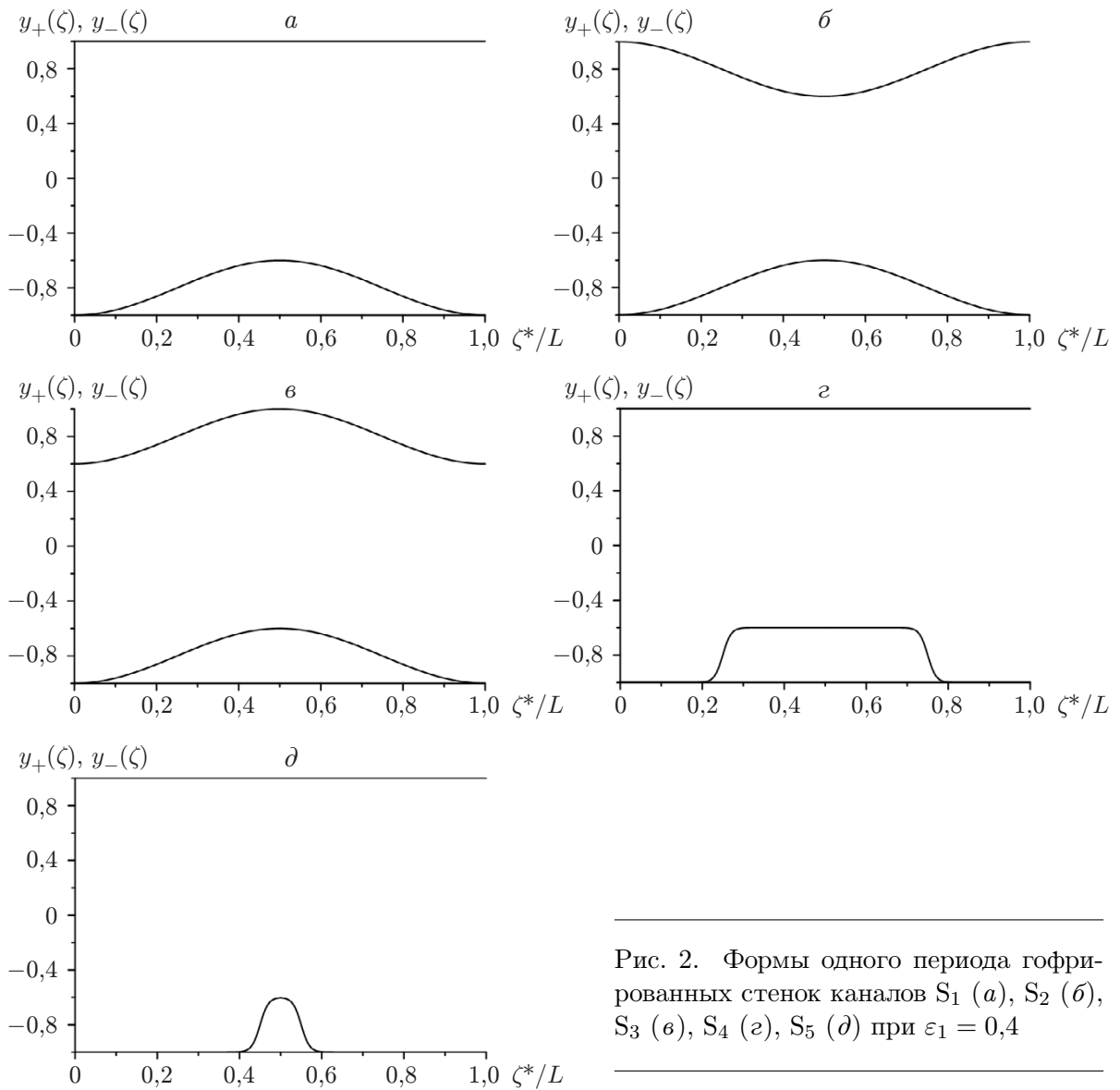


Рис. 2. Формы одного периода гофрированных стенок каналов S_1 (a), S_2 (b), S_3 (c), S_4 (z), S_5 (d) при $\varepsilon_1 = 0,4$

Таким образом, в задаче имеются три параметра: ε , ε_1 , Re и безразмерная функция $f(\zeta)$ для описания формы гофрирования. Ниже с использованием полиномов Чебышева и ряда Фурье получены стационарные решения уравнений (7)–(12).

Для каналов с гофрированием вдоль потока (см. рис. 1, a) основное течение имеет две компоненты скорости:

$$[u(x, z, \eta), v(x, z, \eta), w(x, z, \eta), \bar{P}(x, z, \eta), Z] = [u_b(x, \eta), v_b(x, \eta), 0, \bar{P}_b(x, \eta), Z],$$

$$u_b(x, \eta) = \frac{1}{2} U_1(x) + \sum_{m=2}^M U_m(x) T_{m-1}(\eta),$$

$$U_m(x) = U_m^0 + \sum_{k=-N/2+1, k \neq 0}^{N/2-1} U_m^k e^{2\pi i k x}, \quad (U_m^{-k})^{\text{k.c.}} = U_m^k, \quad m = 1, \dots, M.$$

Здесь $T_m(\eta)$ — полиномы Чебышева; индекс “к.с.” означает комплексное сопряжение.

При известной аппроксимации продольной скорости $u_b(x, \eta)$ вторая компонента скорости $v_b(x, \eta)$ однозначно определяется уравнением (10), а поле давления $\bar{P}_b(x, \eta)$ — уравнением (8):

$$\begin{aligned} \bar{P}_b(x, \eta) &= \bar{P}_b^0(x) + f_-(x) \int_{-1}^{\eta} \left\{ -\varepsilon^2 \left(u_b \frac{\partial v_b}{\partial x} + (u_b \eta_x + v_b \eta_y) \frac{\partial v_b}{\partial \eta'} \right) + \right. \\ &\quad \left. + \frac{\varepsilon}{\text{Re}} \left[\eta_y^2 \frac{\partial^2 v_b}{\partial \eta'^2} + \varepsilon^2 \left(\frac{\partial^2 v_b}{\partial x^2} + \eta_x^2 \frac{\partial^2 v_b}{\partial \eta'^2} + 2\eta_x \frac{\partial^2 v_b}{\partial x \partial \eta'} + (\eta_x \xi + \eta_x \eta_{x\eta}) \frac{\partial v_b}{\partial \eta'} \right) \right] \right\} d\eta', \\ \bar{P}_b^0(x) &= \sum_{k=-N/2+1, k \neq 0}^{N/2-1} (\bar{P}_b^0)^k e^{2\pi i k x}, \quad ((\bar{P}_b^0)^{-k})^{\text{k.c.}} = (\bar{P}_b^0)^k. \end{aligned}$$

В случае гофрирования вдоль потока (см. рис. 1, *a*) общее число неизвестных в уравнениях (7)–(12) составляет $(M+1)(N-1)$, включая $M(N-1)$ гармоник поля скорости $u_b(x, \eta)$, градиент давления Z и $N-2$ гармоник $\bar{P}_b^0(x)$. Для решения задачи задается начальное приближение U_m^k , Z , $(\bar{P}_b^0)^k$. В качестве начального приближения может быть использовано решение Пуазейля для случая течения в гладком канале. За счет увеличения амплитуды гофрирования и изменения значений других параметров находятся решения для каналов с волнистыми стенками. Для уточнения начального приближения используются итерационный метод Ньютона и уравнения (7), (11), (12). Производные и интегралы в уравнениях (7)–(12) рассчитываются в (n, m) -пространстве с использованием стандартных библиотечных процедур для рядов Фурье и полиномов Чебышева. Матрица Якоби в методе Ньютона рассчитывается по разностной схеме первого порядка. На каждой итерации методом исключения решается система линейных уравнений с использованием стандартных библиотечных процедур. С учетом граничных условий прилипания (11) исходная система уравнений переопределена. Для определения $(M+1)(N-1)$ неизвестных имеем $(M+3)(N-1)$ уравнений в (n, m) -пространстве — уравнения (7), (11). Далее отбрасываются $2(N-1)$ уравнений, соответствующих последним двум полиномам Чебышева в разложении уравнения (7), аналогично тому как это сделано, например, в работах [26–29] с использованием спектрального метода. Полученные результаты справедливы в случае удовлетворительной аппроксимации функции $u_b(x, \eta)$ рядом Фурье и полиномами Чебышева. Условия $|U_m^{N/2-1}| / \sup |U_m^k| < 10^{-3}$ для всех m и $|U_M^k| / \sup |U_m^k| < 10^{-3}$ для всех k выполнялись при соответствующем увеличении параметров N и M при движении по параметрам задачи.

Для каналов с гофрированием поперек потока (см. рис. 1, *б*) основное течение имеет одну компоненту скорости:

$$\begin{aligned} [u(x, z, \eta), v(x, z, \eta), w(x, z, \eta), \bar{P}(x, z, \eta), Z] &= [u_b(x, \eta), 0, 0, 0, Z], \\ u_b(z, \eta) &= \frac{1}{2} U_1(z) + \sum_{m=2}^M U_m(z) T_{m-1}(\eta), \\ U_m(z) &= U_m^0 + \sum_{k=-N/2+1, k \neq 0}^{N/2-1} U_m^k e^{2\pi i k z}, \quad (U_m^{-k})^{\text{k.c.}} = U_m^k, \quad m = 1, \dots, M. \end{aligned}$$

В данном случае общее число неизвестных в уравнениях (7)–(12) составляет $M(N-1)$, включая $M(N-2)$ гармоник поля скорости $u_b(x, \eta)$ и градиент давления Z . Для решения задачи задается начальное приближение U_m^k , Z . Далее для уточнения начального приближения используются итерационный метод Ньютона и уравнения (7), (11), (12).

Подставляя величины

$$u = u_b(\zeta, \eta) + \hat{u}(x, \eta, z) e^{-\gamma t} + \text{к. с.}, \quad v = v_b(\zeta, \eta) + \hat{v}(x, \eta, z) e^{-\gamma t} + \text{к. с.},$$

$$w = \hat{w}(x, \eta, z) e^{-\gamma t} + \text{к. с.}, \quad P = P_b(\zeta, \eta) + \hat{P}(x, \eta, z) e^{-\gamma t} + \text{к. с.}$$

(к. с. — комплексно-сопряженная величина) в уравнения (7)–(12) и линеаризуя их в окрестности основного решения, получаем систему уравнений с периодическими коэффициентами для нахождения спектра собственных значений и решения задачи о линейной устойчивости стационарного решения:

$$\hat{v}(x, z, \eta) = [\eta(f_-)_\zeta + (f_+)_\zeta] \tilde{u}(x, z, \eta) -$$

$$- \frac{\partial}{\partial x} \left(f_- \int_{-1}^{\eta} \hat{u}(x, z, \eta') d\eta' \right) - \frac{\partial}{\partial z} \left(f_- \int_{-1}^{\eta} \hat{w}(x, z, \eta') d\eta' \right); \quad (13)$$

$$\eta_y(\hat{P} - \hat{P}_0) = \int_{-1}^{\eta} \left\{ \gamma \varepsilon^2 \hat{v} + \frac{\varepsilon}{\text{Re}} \left[\eta_y^2 \frac{\partial^2 \hat{v}}{\partial \eta'^2} + \varepsilon^2 \frac{\partial^2 \hat{v}}{\partial x^2} + \varepsilon^2 \frac{\partial^2 \hat{v}}{\partial z^2} + \right. \right.$$

$$\left. \left. + \varepsilon^2 \left(\eta_\zeta^2 \frac{\partial^2 \hat{v}}{\partial \eta'^2} + 2\eta_\zeta \frac{\partial^2 \hat{v}}{\partial \zeta \partial \eta'} + (\eta_\zeta \xi + \eta_\zeta \eta_{\zeta \eta'}) \frac{\partial \hat{v}}{\partial \eta'} \right) \right] - \right.$$

$$\left. - \varepsilon^2 \left(u_b \frac{\partial \hat{v}}{\partial x} + (\tilde{u}_b \eta_\zeta + v_b \eta_y) \frac{\partial \hat{v}}{\partial \eta'} + \hat{u} \frac{\partial v_b}{\partial x} + (\tilde{u} \eta_\zeta + \hat{v} \eta_y) \frac{\partial v_b}{\partial \eta'} \right) \right\} d\eta'; \quad (14)$$

$$-\gamma \hat{u} = -\frac{\partial(\hat{P} - \hat{P}_0)}{\partial x} - \frac{\partial \hat{P}_0}{\partial x} - \tilde{k} \eta_\zeta \frac{\partial(\hat{P} - \hat{P}_0)}{\partial \eta} +$$

$$+ \frac{1}{\varepsilon \text{Re}} \left[\eta_y^2 \frac{\partial^2 \hat{u}}{\partial \eta^2} + \varepsilon^2 \frac{\partial^2 \hat{u}}{\partial x^2} + \varepsilon^2 \frac{\partial^2 \hat{u}}{\partial z^2} + \varepsilon^2 \left(\eta_\zeta^2 \frac{\partial^2 \hat{u}}{\partial \eta^2} + 2\eta_\zeta \frac{\partial^2 \hat{u}}{\partial \zeta \partial \eta} + (\eta_\zeta \xi + \eta_\zeta \eta_{\zeta \eta}) \frac{\partial \hat{u}}{\partial \eta} \right) \right] -$$

$$- \left(u_b \frac{\partial \hat{u}}{\partial x} + (\tilde{u}_b \eta_\zeta + v_b \eta_y) \frac{\partial \hat{u}}{\partial \eta} + \hat{u} \frac{\partial u_b}{\partial x} + (\tilde{u} \eta_\zeta + \hat{v} \eta_y) \frac{\partial u_b}{\partial \eta} \right); \quad (15)$$

$$-\gamma \hat{w} = -\frac{\partial(\hat{P} - \hat{P}_0)}{\partial z} - \frac{\partial \hat{P}_0}{\partial z} - (1 - \tilde{k}) \eta_\zeta \frac{\partial \hat{P}}{\partial \eta} +$$

$$+ \frac{1}{\varepsilon \text{Re}} \left[\eta_y^2 \frac{\partial^2 \hat{w}}{\partial \eta^2} + \varepsilon^2 \frac{\partial^2 \hat{w}}{\partial x^2} + \varepsilon^2 \frac{\partial^2 \hat{w}}{\partial z^2} + \varepsilon^2 \left(\eta_\zeta^2 \frac{\partial^2 \hat{w}}{\partial \eta^2} + 2\eta_\zeta \frac{\partial^2 \hat{w}}{\partial \zeta \partial \eta} + (\eta_\zeta \xi + \eta_\zeta \eta_{\zeta \eta}) \frac{\partial \hat{w}}{\partial \eta} \right) \right] -$$

$$- \left(u_b \frac{\partial \hat{w}}{\partial x} + (\tilde{u}_b \eta_\zeta + v_b \eta_y) \frac{\partial \hat{w}}{\partial \eta} \right); \quad (16)$$

$$\hat{u}(x, \eta) = \hat{w}(x, \eta) = 0, \quad \eta = -1, \quad \eta = 1; \quad (17)$$

$$\frac{\partial}{\partial x} \left(f_- \int_{-1}^1 \hat{u} d\eta' \right) + \frac{\partial}{\partial z} \left(f_- \int_{-1}^1 \hat{w} d\eta' \right) = 0. \quad (18)$$

Здесь $\tilde{u}_b = u_b$ или $\tilde{u}_b = w_b$; $\tilde{u} = \hat{u}$ или $\tilde{u} = \hat{w}$; $\hat{P}_0(x, z, \eta) = \hat{P}(x, z, \eta)|_{\eta=-1}$ — возмущенное давление на нижней стенке.

В соответствии с теоремой Флоке решения линейной системы уравнений с периодическими коэффициентами могут быть представлены в следующем виде:

$$\begin{bmatrix} \hat{u}(x, z, \eta) \\ \hat{w}(x, z, \eta) \\ \hat{P}_0(x, z) \end{bmatrix} = \begin{bmatrix} \frac{1}{2} \sum_{k=-N/2+1}^{N/2-1} \hat{U}_1^k e^{2\pi i k \zeta} + \sum_{m=2}^M T_{m-1}(\eta) \sum_{k=-N/2+1}^{N/2-1} \hat{U}_m^k e^{2\pi i k \zeta} \\ \frac{1}{2} \sum_{k=-N/2+1}^{N/2-1} \hat{W}_1^k e^{2\pi i k \zeta} + \sum_{m=2}^M T_{m-1}(\eta) \sum_{k=-N/2+1}^{N/2-1} \hat{W}_m^k e^{2\pi i k \zeta} \\ \sum_{k=-N/2+1}^{N/2-1} \hat{P}_0^k e^{2\pi i k \zeta} \end{bmatrix} e^{2\pi i (Qx + Q_z z)} \quad (19)$$

(Q, Q_z — положительные вещественные параметры). Для канала с гофрированием вдоль потока (см. рис. 1, а) Q является параметром Флоке Q_F : $Q_F = Q \in [0, 0,5]$, для канала с гофрированием поперек потока (см. рис. 1, б) Q_z является параметром Флоке: $Q_F = Q_z \in [0, 0,5]$.

В результате задача сводится к обобщенной задаче определения собственных значений для комплексных матриц общего вида

$$A\hat{x} = \gamma B\hat{x}, \quad \hat{x} = (\hat{U}_m^k, \hat{W}_m^k, \hat{P}_0^k)^\top. \quad (20)$$

Матрицы A, B имеют размерность $(2M+1)(N-1)$ в случае $Q+Q_z \neq 0$ и $(2M+1)(N-1)-1$ в случае $Q+Q_z = 0$. Элементы этих матриц определяются численно путем перебора единичных векторов возмущений $\hat{u}, \hat{w}, \hat{P}_0$ и подстановки их в уравнения (13)–(18). Для каждого такого вектора поле $\hat{v}(x, z, \eta)$ однозначно определяется уравнением (13), а поле $\hat{P}(x, z, \eta)$ — уравнениями (13), (14). Далее отбрасываем $2(N-1)$ уравнений, соответствующих последним двум полиномам Чебышева в разложении уравнений (15), (16), и вместо них используем условия прилипания (17). Уравнение (18) используется для определения $\hat{P}_0(x, z)$. Получаемые результаты справедливы в случае удовлетворительной аппроксимации функций $\hat{u}, \hat{w}, \hat{P}_0$. Условия $|\hat{U}_m^{N/2-1}| / \sup |\hat{U}_m^k| < 10^{-3}$ для всех m и $|\hat{U}_M^k| / \sup |\hat{U}_m^k| < 10^{-3}$ для всех k выполняются при соответствующем увеличении параметров N и M при движении по параметрам задачи (аналогичные условия выполняются для полей \hat{w} и \hat{P}_0). Обобщенная задача определения собственных значений для комплексных матриц общего вида решалась численно с использованием стандартной библиотечной процедуры QZ-алгоритма, аналогично тому как это сделано, например, в работах [26–30], посвященных исследованию устойчивости.

В общем случае возмущения (19) имеют две несоизмеримые длины волны $\lambda_1^* = L$, $\lambda_2^* = L/Q_F$ в ζ -направлении ($\zeta = x$ или $\zeta = z$) и одну длину волны L/Q_z или L/Q в поперечном направлении. Для исследования устойчивости стационарного решения необходимо проанализировать $(2M+1)(N-1)$ собственных чисел задачи (20), варьируя волновые числа возмущений $\alpha = 2\pi Q\varepsilon$ и $\alpha_z = 2\pi Q_z\varepsilon$. Решение устойчиво, если вещественные части всех собственных значений больше или равны нулю при всех положительных значениях волновых чисел. Возмущение является нейтральным, если вещественная часть соответствующего ему собственного значения равна нулю: $\text{Real}(\gamma) = 0$.

Следует отметить, что при $Q+Q_z = 0$ возмущения являются выделенными. Такие возмущения являются периодическими в ζ -направлении, их длина волны совпадает с периодом гофрирования стенки. Рост возмущений при $Q+Q_z = 0$ свидетельствует о переходе к режиму течения с более сложным, чем в режиме основного течения, характером изменения во времени.

Для тестирования алгоритма решения задачи (20) в работах [29, 30] были воспроизведены расчеты, выполненные в работах [17, 21, 31]. В работе [31] рассматривалась устойчивость течения жидкости в канале с гладкими стенками, в [17, 21] исследовалось течение в канале с двумя стенками, поверхность которых задается синусоидой ($\varepsilon = 0,36$, $\varepsilon_1 = 0,70$). Проведенное в работах [29, 30] сопоставление полученных результатов с данными работ [17, 21, 31] показывает, что они хорошо согласуются, и свидетельствует о корректности численного алгоритма решения задачи (20).

2. Результаты расчетов. Ниже приводятся результаты расчетов параметров течения при различных направлениях гофрирования стенки канала.

2.1. *Продольное гофрирование.* На первом этапе была исследована устойчивость стационарного решения $[u_b(x, \eta), v_b(x, \eta), 0, \bar{P}_b(x, \eta), Z]$ относительно периодических возмущений с $Q = Q_z = 0$ (длина волны этих возмущений равна периоду основного решения L). В задаче имеется три параметра: $2A/D$, $D/(2L)$ и число Рейнольдса или ε_1 , ε , Re . Устойчивость решений изучалась в диапазоне значений параметра $2A/D = 0,001 \div 0,400$. В этом диапазоне рассматривались четыре точки. Исследование проводилось в диапазоне значений числа Рейнольдса $Re = 100 \div 10\,000$ с шагом, равным 200. При изменении параметра $D/(2L)$ в диапазоне $0,05 \div 1,25$ с шагом 0,05 решалась задача (20) для параметров ε_1 , ε , Re и анализировался спектр собственных значений γ . В случае смены знака $Real(\gamma)$ методом деления пополам уточнялось значение параметра $D/(2L)$ и строились нейтральные кривые (рис. 3). На этих кривых вещественная часть одного из собственных значений обращается в нуль: $Real(\gamma) = 0$ при $Q = Q_z = 0$. Для четырех значений $2A/D$ данные кривые ограничивают область параметров $(D/(2L), Re) \in \Omega_{Q=Q_z=0}^i$, $i = 1, \dots, 4$, в которой основное течение является неустойчивым относительно двумерных возмущений с $Q = Q_z = 0$. Значения параметров находятся справа от соответствующих линий. Кривые 1–4 на рис. 3 построены для пяти различных форм гофрирования стенки S_1 – S_5 (см. рис. 2). При малом значении амплитуды гофрирования (линии 1 на рис. 3) нейтральные кривые для форм гофрирования стенки канала S_1 – S_5 подобны и представляют собой объединение области $(D/(2\lambda^*), Re)$ и областей “неустойчивых субгармоник” $(D/(4\lambda^*), Re)$, $(D/(6\lambda^*), Re)$, … ($\lambda^*(Re)$ — длина волны нейтрального возмущения в случае течения Пуазейля в гладком канале [31]). Такое объединение впервые было выявлено в работе [29] для канала с синусоидальной формой гофрирования стенок S_1 . С увеличением амплитуды гофрирования области $\Omega_{Q=Q_z=0}^i$ (линии 2–4 на рис. 3) распространяются в области меньших значений как числа Рейнольдса, так и периода гофрирования L и объединяются в одну область. Заметим также, что существуют параметры гофрирования, при которых основное течение устойчиво относительно возмущений с $Q = Q_z = 0$ вплоть до наибольших чисел Рейнольдса, рассмотренных в работе. Например, для значений амплитуды гофрирования $2A/D \leq 0,2$ (линии 1–3 на рис. 3) течение вдоль каналов различной формы с периодом гофрирования $D/(2L) \geq 0,35$ устойчиво относительно двумерных возмущений с $Q = Q_z = 0$ вплоть до $Re \approx 10^4$ (исключение составляет линия 3 для формы гофрирования S_5 на рис. 3).

Можно сделать вывод, что форма и амплитуда гофрирования как количественно, так и качественно изменяют ход нейтральной кривой (см. рис. 3). Например, сравним случаи S_1 и S_5 (см. рис. 2). Заметим, что случай S_5 моделирует совместное течение газа и волновой пленки жидкости в горизонтальном канале. Линии 3 и 4, соответствующие этим случаям, качественно различны, линии 1 и 2 различаются количественно.

На втором этапе исследовалась устойчивость стационарного решения $[u_b(x, \eta), v_b(x, \eta), 0, \bar{P}_b(x, \eta), Z]$ по отношению к двумерным возмущениям с конечными значениями параметра Флоке $Q \in [0,001, 0,500]$ ($Q_z = 0$). Рассматривался тот же диапазон значений амплитуды гофрирования и числа Рейнольдса, что и при изучении устойчивости по отношению к возмущениям с $Q = Q_z = 0$. На рис. 4 представлены

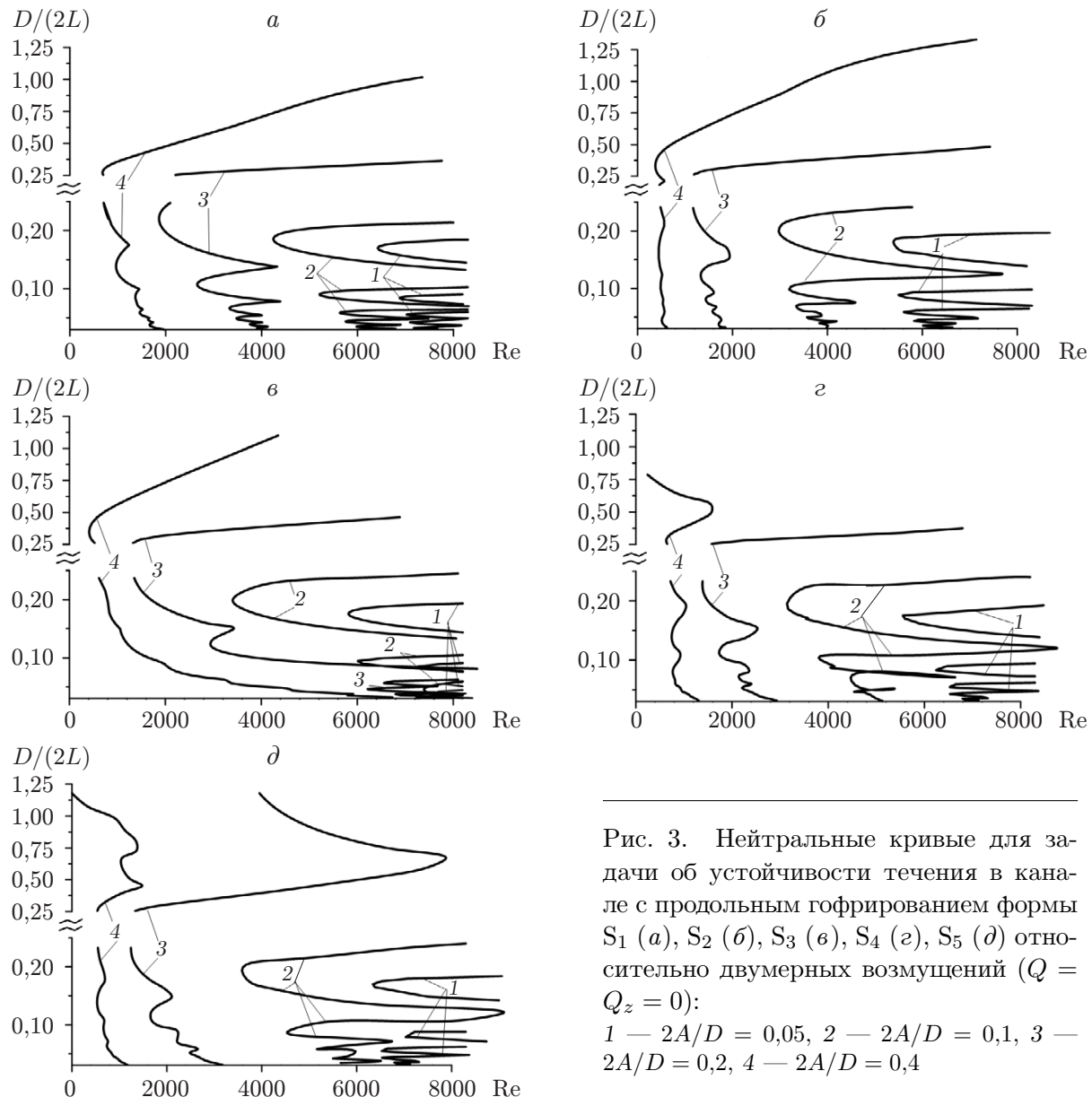


Рис. 3. Нейтральные кривые для задачи об устойчивости течения в канале с продольным гофрированием формы S_1 (a), S_2 (б), S_3 (в), S_4 (г), S_5 (д) относительно двумерных возмущений ($Q = Q_z = 0$):
 1 — $2A/D = 0,05$, 2 — $2A/D = 0,1$, 3 — $2A/D = 0,2$, 4 — $2A/D = 0,4$

нейтральные кривые для задачи об устойчивости течения в канале с продольным гофрированием различной формы относительно двупериодических двумерных возмущений. При расчетах устойчивости для каждого значения параметра $D/(2L)$, который менялся в диапазоне $0,05 \div 1,25$ с шагом 0,05, вычислялось значение параметра Флоке, при котором значение $\text{Real}(\gamma)$ было минимальным. При больших значениях числа Рейнольдса такое значение $\text{Real}(\gamma)$ было отрицательным и для каждого набора $\varepsilon_1, \varepsilon, \text{Re}$ существовал диапазон значений параметра Флоке с неустойчивыми плоскими возмущениями. При малых значениях числа Рейнольдса такое значение $\text{Real}(\gamma)$ было положительным и основное решение с набором параметров $\varepsilon_1, \varepsilon, \text{Re}$ было устойчивым относительно всех возмущений с конечными значениями Q ($Q_z = 0$). Для линий 1–4 на рис. 4 как $\text{Real}(\gamma) = 0$, так и $\partial \text{Real}(\gamma) / \partial Q = 0$. Эти линии ограничивают области параметров $\Omega_{Q \neq 0, Q_z=0}^i(D/(2L), \text{Re})$, $i = 1, \dots, 4$ (значения параметров находятся справа от соответствующих линий), в кото-

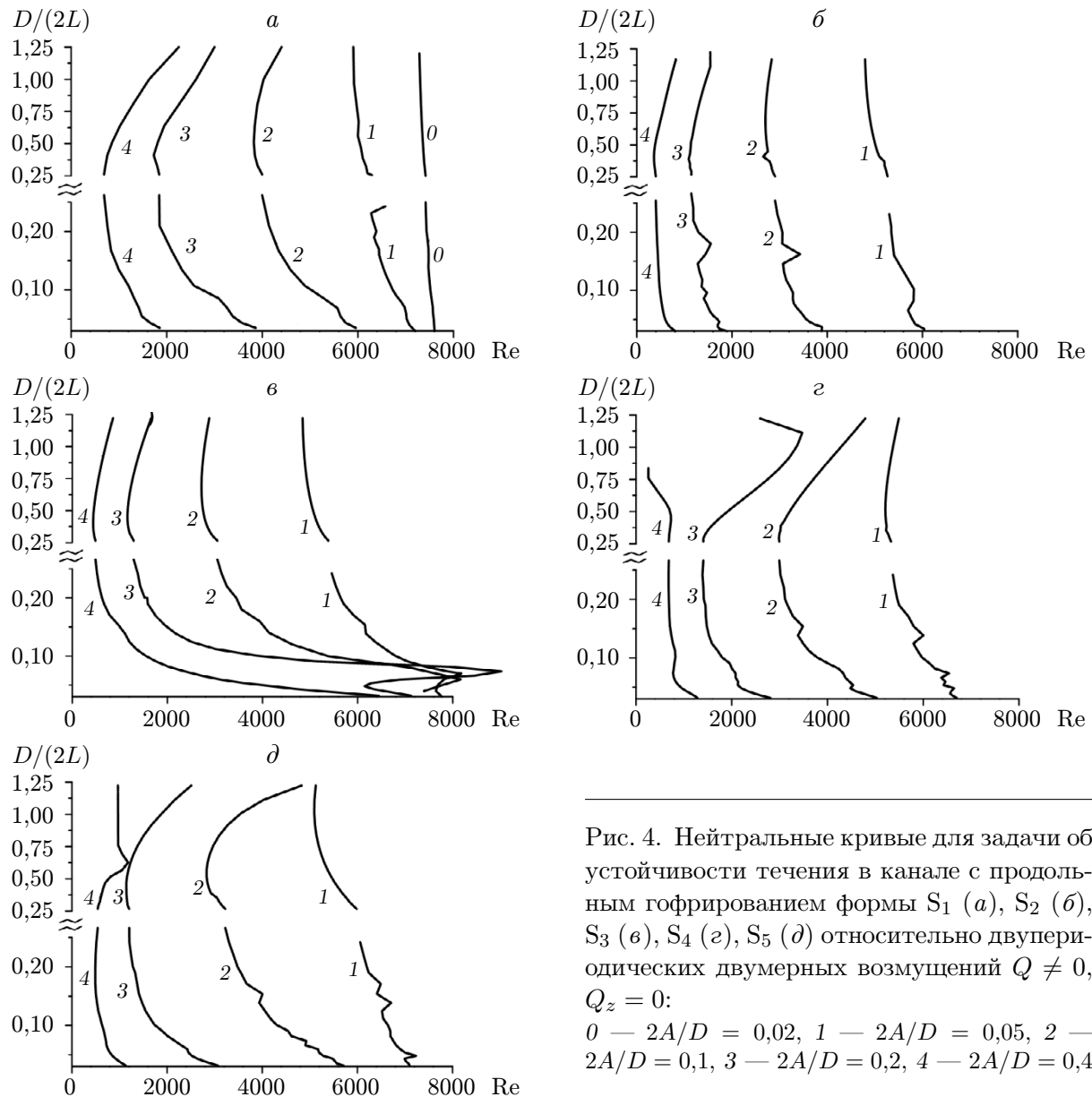


Рис. 4. Нейтральные кривые для задачи об устойчивости течения в канале с продольным гофрированием формы S_1 (а), S_2 (б), S_3 (в), S_4 (г), S_5 (д) относительно двупериодических двумерных возмущений $Q \neq 0$, $Q_z = 0$:

0 — $2A/D = 0,02$, 1 — $2A/D = 0,05$, 2 — $2A/D = 0,1$, 3 — $2A/D = 0,2$, 4 — $2A/D = 0,4$

рых основное течение является неустойчивым относительно двупериодических плоских возмущений с конечными значениями параметра Q ($Q_z = 0$). Эти области значительно больше соответствующих областей устойчивости относительно плоских периодических возмущений с $Q = Q_z = 0$. В целом можно сделать вывод, что форма гофрирования не меняет вид нейтральных кривых на рис. 4.

Далее исследовалась устойчивость относительно трехмерных возмущений (19) при различных значениях параметра Q_z ($Q = 0$). В этом случае возмущения скорости имеют три компоненты. Линии 1–4 на рис. 5 ограничивают области $\Omega_{Q=0, Q_z \neq 0}^i(D/(2L), \text{Re})$, $i = 1, \dots, 4$ (значения параметров находятся справа от соответствующих линий), в которых существуют нарастающие во времени пространственные возмущения с конечными значениями параметра Q_z ($Q = 0$). Для этих линий как $\text{Real}(\gamma) = 0$, так и $\partial \text{Real}(\gamma) / \partial Q_z = 0$. При расчетах устойчивости для каждого значения параметра $D/(2L)$

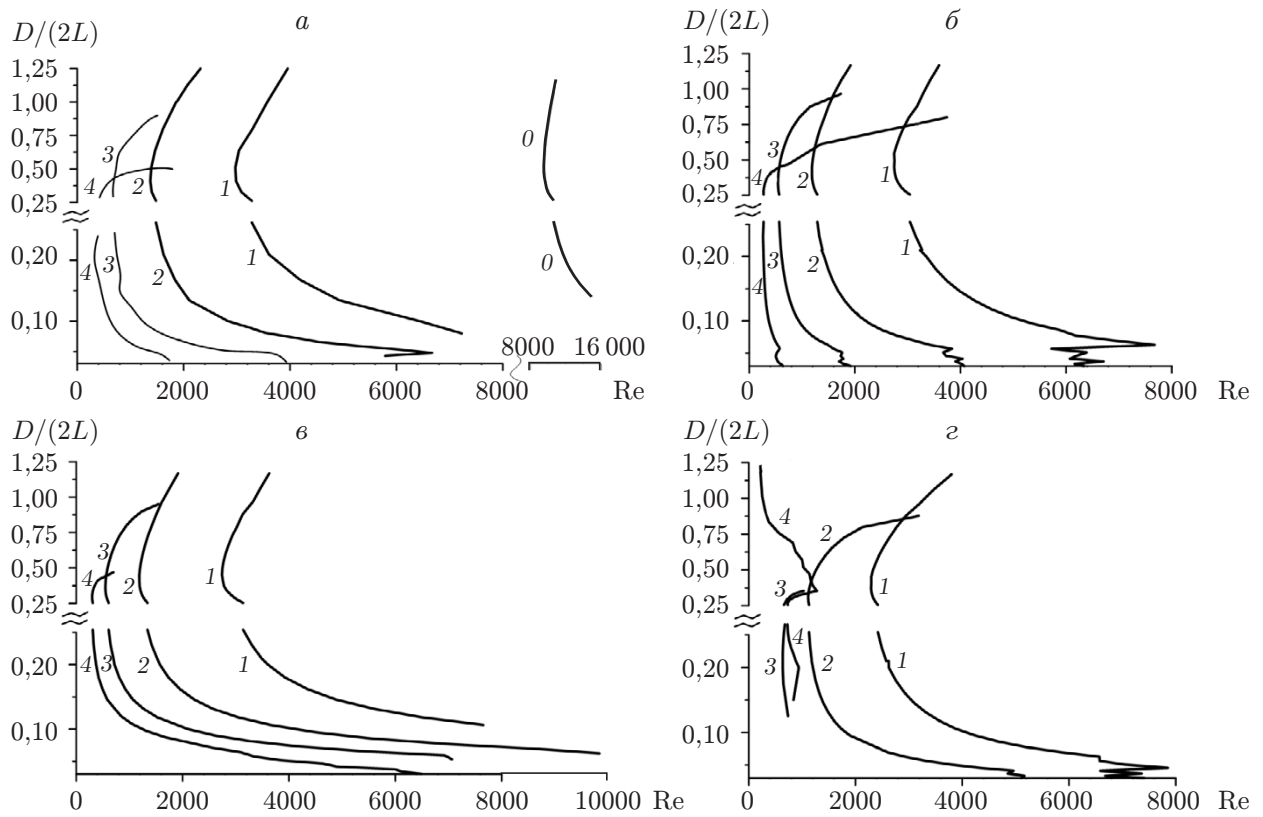


Рис. 5. Нейтральные кривые для задачи об устойчивости течения в канале с продольным гофрированием формы S_1 (a), S_2 (б), S_3 (в), S_4 (г) относительно двупериодических трехмерных возмущений $Q_z \neq 0$, $Q = 0$:
 0 — $2A/D = 0,02$, 1 — $2A/D = 0,05$, 2 — $2A/D = 0,1$, 3 — $2A/D = 0,2$, 4 — $2A/D = 0,4$

вычислялось значение параметра Q_z , при котором значение $\text{Real}(\gamma)$ было минимальным. При уменьшении амплитуды гофрирования линии на рис. 5 смещаются в область больших чисел Рейнольдса для всех рассмотренных форм гофрирования. Результаты сравнения рис. 4 и 5 позволяют сделать вывод, что с точки зрения устойчивости течения вдоль канала трехмерные возмущения с конечными значениями параметра Q_z ($Q = 0$) являются более опасными, чем двумерные. Сравнение проводилось для одинаковых форм и параметров гофрирования. Неустойчивость по отношению к трехмерным возмущениям возникает при меньшем значении числа Рейнольдса. При малых значениях амплитуды гофрирования двумерные возмущения становятся более опасными (линия 0 рис. 4, a, 5, a).

2.2. *Поперечное гофрирование*. На первом этапе была исследована устойчивость стационарного решения $[u_b(z, \eta), 0, 0, 0, Z]$ относительно периодических возмущений с $Q = Q_z = 0$ (длина волны таких возмущений равна периоду основного решения L). Неустойчивость основного течения к таким возмущениям означает невозможность его реализации при рассматриваемых параметрах и свидетельствует о переходе к режиму течения с более сложным, чем в режиме основного течения, характером изменения во времени. В задаче имеется три параметра: A/L , $D/(2L)$ и число Рейнольдса или ε_1 , ε , Re ($A/L = \varepsilon_1 \varepsilon$). Эти параметры выбирались такими же, как при исследовании устойчивости течения в канале с продольным гофрированием.

На втором этапе исследовалась устойчивость течения относительно возмущений с конечными значениями параметра Флоке $Q_z \in [0, 0,5]$ ($Q = 0$). Шаг по этому параметру

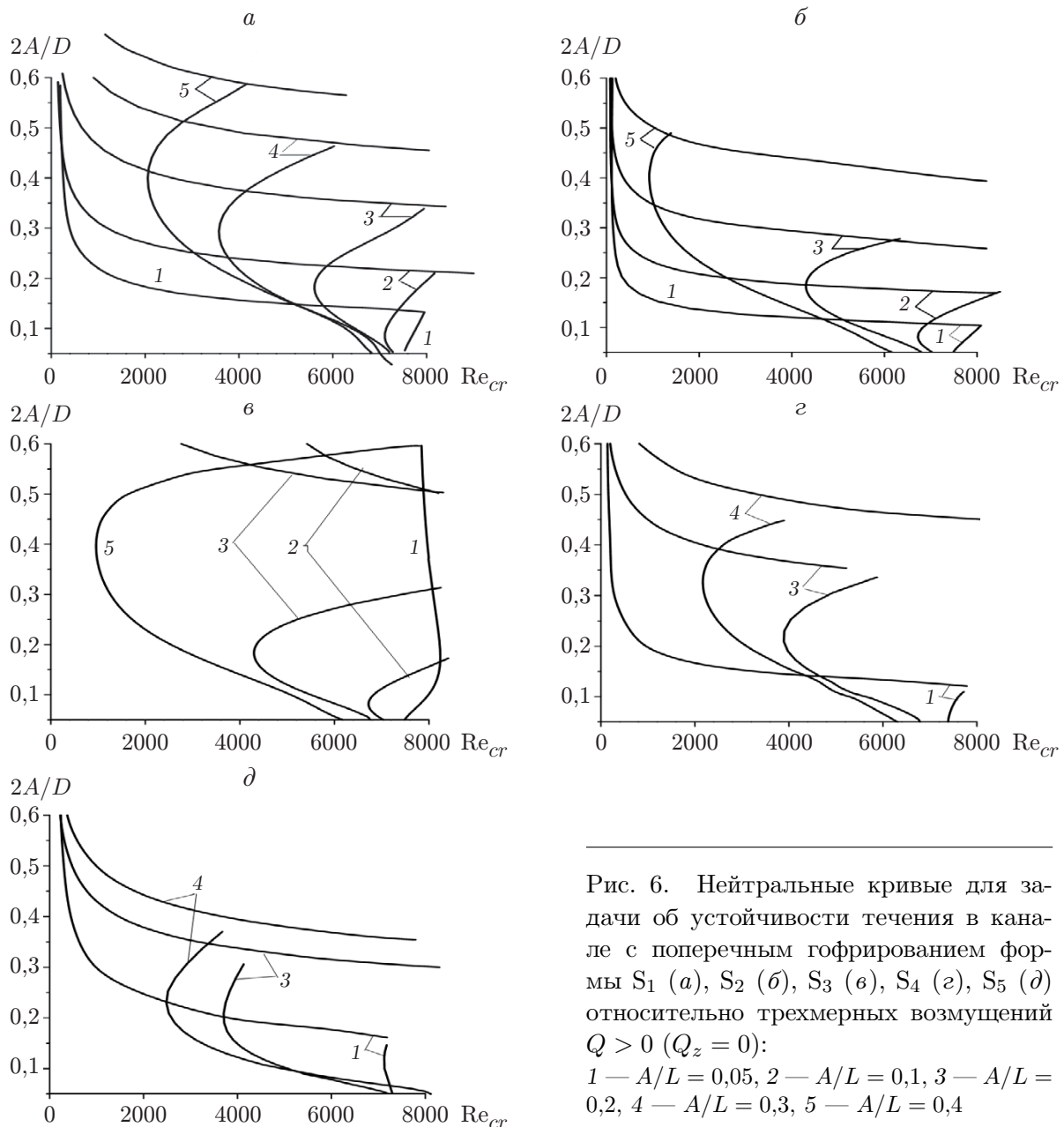


Рис. 6. Нейтральные кривые для задачи об устойчивости течения в канале с поперечным гофрированием формы S_1 (а), S_2 (б), S_3 (в), S_4 (г), S_5 (д) относительно трехмерных возмущений $Q > 0$ ($Q_z = 0$):
 1 — $A/L = 0,05$, 2 — $A/L = 0,1$, 3 — $A/L = 0,2$, 4 — $A/L = 0,3$, 5 — $A/L = 0,4$

составлял 0,01. Расчеты были проведены для пяти различных форм поперечного гофрирования стенки S_1 – S_5 (см. рис. 2). Установлено, что в исследованном диапазоне параметров стационарное течение $[u_b(z, \eta), 0, 0, 0, Z]$ в каналах S_1 – S_5 с поперечным гофрированием устойчиво по отношению к возмущениям как с $Q_z = 0$ ($Q = 0$), так и с конечными значениями Q_z ($Q = 0$).

Далее исследовалась устойчивость относительно продольных возмущений (19) при различных значениях параметра Q ($Q_z = 0$). Линии 1–5 на рис. 6 ограничивают области $\Omega_{Q>0, Q_z=0}^i(2A/D, \text{Re})$, $i = 1, \dots, 5$ (значения параметров находятся справа от соответствующих линий), в которых существуют нарастающие во времени пространственные возмущения с конечными значениями параметра Q ($Q_z = 0$). Для этих линий как $\text{Real}(\gamma) = 0$,

так и $\partial \text{Real}(\gamma)/\partial Q = 0$. При расчетах устойчивости для каждого значения параметра $2A/D$ вычислялось значение параметра Q , при котором значение $\text{Real}(\gamma)$ было минимальным. В результате для пяти различных форм поперечного гофрирования стенки S_1 – S_5 (см. рис. 2) были построены нейтральные кривые (линии 1–5 на рис. 6).

Можно сделать вывод, что форма и параметры поперечного гофрирования как количественно, так и качественно изменяют ход нейтральной кривой (см. рис. 6). Среди случаев гофрирования S_1 – S_5 , рассмотренных в данной работе, кривые нейтральной устойчивости для поверхности с формой гофрирования S_3 наиболее существенно отличаются от соответствующих кривых для случая S_1 . Для каждого рассмотренного значения $A/L \in [0,05 \div 0,40]$ обнаружены две области значений параметра $2A/D \in [0,05 \div 0,60]$, в которых зависимости критического числа Рейнольдса от амплитуды гофрирования качественно различны: 1) $2A/D < (2A/D)^*$; 2) $2A/D > (2A/D)^*$. В первой области зависимость $\text{Re}_{cr}(A/L, 2A/D)$ от параметра $2A/D$ является немонотонной, во второй области вплоть до малых значений $\text{Re}_{cr} \approx 100 \div 200$ зависимость $\text{Re}_{cr}(A/L, 2A/D)$ монотонно убывает при увеличении $2A/D$. Величина $(2A/D)^*$ зависит только от параметра A/L и увеличивается с его ростом. Значения этой величины были вычислены для шести значений $A/L = 0,05; 0,10; 0,20; 0,25; 0,30; 0,40$ и пяти различных форм гофрирования S_1, \dots, S_5 .

Заключение. С использованием полных уравнений Навье — Стокса рассмотрена линейная устойчивость плоского течения в канале с гофрированными стенками. В рамках единого подхода исследованы два типа гофрирования: вдоль потока (основное течение имеет две компоненты скорости) и поперек потока (основное течение имеет одну компоненту скорости). В широком диапазоне значений числа Рейнольдса и параметров гофрирования проанализированы нейтральные кривые для задачи линейной устойчивости. В зависимости от параметров и формы гофрирования рассчитано критическое число Рейнольдса Re_{cr} , при превышении которого основное течение неустойчиво и существуют нарастающие во времени возмущения.

В случае продольного гофрирования найдены параметры, при которых основное стационарное течение неустойчиво по отношению к плоским периодическим возмущениям и переходит в режим с более сложным характером изменения во времени. При малых значениях амплитуды гофрирования области таких параметров $(D/(2L), \text{Re})$ для каналов различной формы близки и представляют собой формальное объединение областей неустойчивости гладкого канала $(D/(2\lambda^*), \text{Re})$ и областей “неустойчивых субгармоник” $(D/(4\lambda^*), \text{Re}), (D/(6\lambda^*), \text{Re}), (D/(8\lambda^*), \text{Re}), \dots$. При увеличении амплитуды гофрирования формальное объединение трансформируется в одну область $(D/(2L), \text{Re})$. Форма и амплитуда гофрирования как количественно, так и качественно влияют на эту трансформацию.

Исследована также устойчивость по отношению к более общим плоским возмущениям с конечным значением параметра Флоке и к пространственным возмущениям.

В случае поперечного гофрирования установлено, что основное стационарное течение устойчиво по отношению к плоским как периодическим, так и двупериодическим (конечное значение параметра Флоке) возмущениям при всех рассмотренных формах и параметрах гофрирования вплоть до наибольших значений числа Рейнольдса. Проанализирована устойчивость течения по отношению к пространственным возмущениям для каждого значения A/L , рассмотренного в работе. Обнаружены две области значений параметра $2A/D$, в которых зависимости для критического числа Рейнольдса качественно различны.

Автор выражает благодарность А. З. Квон и Ю. С. Апостол за обсуждение работы и помощь при ее оформлении.

ЛИТЕРАТУРА

1. **Boiko A. V.** Physics of transitional shear flows / A. V. Boiko, A. V. Dovgal, G. R. Grek, V. V. Kozlov. Berlin: Springer, 2011.
2. **Goldstein D. B., Tuan T.-C.** Secondary flow induced by ripples // J. Fluid Mech. 1998. V. 363. P. 115–151.
3. **Sobey I. J.** On flow through furrowed channels. Pt 1. Calculated flow patterns // J. Fluid Mech. 1980. V. 96, N 1. P. 1–26.
4. **Stepanoff K. D., Sobey I. J., Bellhouse B. J.** On flow through furrowed channels. Pt 2. Observed flow patterns // J. Fluid Mech. 1980. V. 96, N 1. P. 27–32.
5. **Sparrow E. M., Hossfeld L. M.** Effect of rounding of protruding edges on heat transfer and pressure drop in a duct // Intern. J. Heat Mass Transfer. 1984. V. 27. P. 1715–1723.
6. **Beebe D. J., Mensing G. A., Walker G. M.** Physics and applications of microfluidics in biology // Annual Rev. Biomed. Engng. 2002. V. 4, N 1. P. 261–286.
7. **Бойко А. В.** Устойчивость течения жидкости над оребренной поверхностью / А. В. Бойко, Н. В. Ключнев, Ю. М. Нечепуренко. М.: Ин-т прикл. математики им. М. В. Келдыша, 2016.
8. **Григорьев О. А., Ключнев Н. В.** Устойчивость течения Пуазейля в канале с гребенчатым оребрением // Журн. вычисл. математики и мат. физики. 2018. Т. 58, № 4. С. 595–606.
9. **Зверков И. Д., Крюков А. В.** Воздействие на пограничный слой крыла малоразмерного летательного аппарата с помощью волнистой поверхности. Проблемы и перспективы (Обзор) // ПМТФ. 2021. Т. 62, № 3. С. 180–198.
10. **Kistle S. F.** Liquid film coating / S. F. Kistle, P. M. Schweizer. N. Y.: Chapman and Hall, 1997.
11. **Weinstein S. J., Ruschak K. J.** Coating flows // Annual Rev. Fluid Mech. 2004. V. 36. P. 29–53.
12. **De Santos J. M., Melli T. R., Scriven L. E.** Mechanics of gas-liquid flow in packed-bed contactors // Annual Rev. Fluid Mech. 1991. V. 23. P. 233–260.
13. **Trifonov Y. Y.** Modeling of mixture separation in column with structured packing // Multiphase Sci. Technol. 2022. V. 34, N 1. P. 23–51.
14. **Kachanov Y. S.** Physical mechanisms of laminar-boundary-layer transition // Annual Rev. Fluid Mech. 1994. V. 26. P. 411–482.
15. **Nishimura T., Ohori Y., Kawamura Y.** Flow characteristics in a channel with symmetric wavy wall for steady flow // J. Chem. Engng Japan. 1984. V. 17, N 5. P. 466–471.
16. **Nishimura T., Ohori Y., Kajimoto Y., Kawamura Y.** Mass transfer characteristics in a channel with symmetric wavy wall for steady flow // J. Chem. Engng Japan. 1985. V. 18, N 6. P. 550–555.
17. **Nishimura T., Murakami S., Arakawa S., Kawamura Y.** Flow observations and mass transfer characteristics in symmetrical wavy-walled channels at moderate Reynolds numbers for steady flow // Intern. J. Heat Mass Transfer. 1990. V. 33. P. 835–845.
18. **Guzman A. M., Amon C. H.** Transition to chaos in converging-diverging channel flows: Ruelle — Takens — Newhouse scenario // Phys. Fluids. 1994. V. 6, N 6. P. 1994–2002.
19. **Guzman A. M., Amon C. H.** Dynamical flow characterization of transitional and chaotic regimes in converging-diverging channels // J. Fluid Mech. 1996. V. 321. P. 25–57.
20. **Amon C. H., Guzman A. M., Morel B.** Lagrangian chaos, Eulerian chaos, and mixing enhancement in converging-diverging channel flows // Phys. Fluids. 1996. V. 8, N 5. P. 1192–1206.
21. **Cho K. J., Kim M.-U., Shin H. D.** Linear stability of two-dimensional steady flow in wavy-walled channels // Fluid Dynamics Res. 1998. V. 23, N 6. P. 349–370.

22. Cabal A., Szumbarski J., Floryan J. M. Stability of flow in a wavy channel // *J. Fluid Mech.* 2002. V. 457. P. 191–212.
23. Floryan J. M., Floryan C. Traveling wave instability in a diverging-converging channel // *Fluid Dynamics Res.* 2010. V. 42, N 2. 025509.
24. Szumbarski J. Instability of viscous incompressible flow in a channel with transversely corrugated walls // *J. Theor. Appl. Mech.* 2007. V. 45, N 3. P. 659–683.
25. Yadav N., Gepner S. W., Szumbarski J. Instability in a channel with grooves parallel to the flow // *Phys. Fluids.* 2017. V. 29, N 10. 084104.
26. Trifonov Y. Y. Stability of a film flowing down an inclined corrugated plate: The direct Navier — Stokes computations and Floquet theory // *Phys. Fluids.* 2014. V. 26. 114101.
27. Schörner M., Reck D., Aksel N., Trifonov Y. Switching between different types of stability isles in films over topographies // *Acta Mech.* 2018. V. 229. P. 423–436.
28. Трифонов Ю. Я. Волны на стекающих пленках жидкости. Расчет устойчивости к произвольным двумерным возмущениям и “оптимальные” режимы стекания // ПМТФ. 2014. Т. 55, № 2. С. 188–198.
29. Трифонов Ю. Я. Расчет линейной устойчивости течения жидкости в плоском канале с волнистыми вдоль потока стенками // ПМТФ. 2023. Т. 64, № 6. С. 68–80.
30. Трифонов Ю. Я. Расчет линейной устойчивости течения жидкости в плоском канале с волнистыми поперек потока стенками // Изв. РАН. Механика жидкости и газа. 2023. № 5. С. 47–56.
31. Orszag S. A. Accurate solution of the Orr — Sommerfeld stability equation // *J. Fluid Mech.* 1971. V. 50. P. 689–703.

*Поступила в редакцию 9/II 2024 г.,
после доработки — 17/V 2024 г.
Принята к публикации 3/VI 2024 г.*